

5. Antony M. Discrete Mathematics of Neural Networks: Selected Topics. SIAM, Philadelphia, 2001.

УДК 621.391:519.7

DOI 10.17223/2226308X/12/59

MDS-МАТРИЦЫ, ПОСТРОЕННЫЕ С ПОМОЩЬЮ СОПРОВОЖДАЮЩИХ МАТРИЦ МНОГОЧЛЕНОВ И ПОДСТАНОВОЧНЫХ МАТРИЦ

О. Кой Пуэнте

Предлагается новый метод построения MDS-матриц порядка $k = 4, 6$ над полем $\text{GF}(256)$, основанный на возведении в степень сопровождающих матриц некоторых многочленов и последующим сложением с подстановочной матрицей. Оценивается число операций сложения по модулю 2, необходимых для вычисления образов векторов при действии соответствующих линейных преобразований. Построенные матрицы представляют интерес для использования в шифрсистемах, ориентированных на низкоресурсную реализацию.

Ключевые слова: *MDS-матрицы, сопровождающие матрицы многочленов, подстановочные матрицы, конечные поля, низкоресурсная криптография, XOR-сложность.*

Введение

Пусть $Q = \text{GF}(2^n) = \text{GF}(2)[x]/g(x)$ — конечное поле из 2^n элементов, где $g(x)$ — неприводимый многочлен степени n над полем $\text{GF}(2)$. Множество всех вектор-строк длины k над полем Q обозначим через Q^k , а множество всех матриц размера $k \times k$ над полем Q — через $Q_{k,k}$.

Определение 1 [1]. Показатель рассеивания ρ матрицы $A \in Q_{k,k}$ определяется равенством

$$\rho(A) = \min_{\mathbf{a} \neq \mathbf{0}} \{w(\mathbf{a}) + w(\mathbf{a}A)\},$$

где $w(\mathbf{a})$ — вес Хэмминга вектора $\mathbf{a} \in Q^k$, то есть количество его ненулевых элементов.

Определение 2 [1, 2]. Матрица $A \in Q_{k,k}$ называется MDS-матрицей, если $\rho(A) = k + 1$.

Определение 3 [2]. Пусть $f(x) = a_0 + a_1x + a_2x^2 + \dots + a_{k-1}x^{k-1} + x^k \in Q[x]$. Матрица $S_f \in Q_{k,k}$, определённая равенством

$$S_f = \begin{pmatrix} 0 & 1 & 0 & \dots & 0 \\ 0 & 0 & 1 & \dots & 0 \\ \vdots & \vdots & \vdots & & \vdots \\ 0 & 0 & 0 & \dots & 1 \\ a_0 & a_1 & a_2 & \dots & a_{k-1} \end{pmatrix},$$

называется сопровождающей матрицей многочлена $f(x)$.

В [3] предложено оценивать сложность реализации линейного слоя в блочных шифрсистемах подсчётом количества вентилей XOR, необходимых для реализации

умножения элемента над полем. Показано, что, в отличие от распространённого мнения, элементы с высоким весом Хэмминга также могут иметь низкую сложность реализации. Будем использовать эту новую характеристику для расчёта сложности реализации линейного слоя.

Определение 4 [3]. XOR-сложностью элемента $\alpha \in Q$ в фиксированном базисе назовём количество операций XOR, необходимых для реализации умножения α на произвольный элемент $\beta \in Q$.

Пример 1 [3]. Пусть $\text{GF}(2^3) = \text{GF}(2)[x]/(x^3 + x + 1)$ и $\{1, \alpha, \alpha^2\}$ — базис пространства $\text{GF}(2^3)$ над полем $\text{GF}(2)$. Умножение элемента $\alpha^4 = \alpha \oplus \alpha^2$ на произвольный элемент $\beta = b_0 \oplus b_1\alpha \oplus b_2\alpha^2$, где $b_i \in \text{GF}(2)$, имеет вид

$$(b_0 \oplus b_1\alpha \oplus b_2\alpha^2)(\alpha \oplus \alpha^2) = (b_0 \oplus b_2) \oplus (b_0 \oplus b_1)\alpha \oplus (b_0 \oplus b_1 \oplus b_2)\alpha^2.$$

Элемент $\alpha^4\beta$ можно отождествить с элементом из $\text{GF}(2)^3$ вида

$$(b_0 \oplus b_2, b_0 \oplus b_1, b_0 \oplus b_1 \oplus b_2),$$

в котором есть четыре операции XOR. Таким образом, XOR-сложность элемента α^4 равна 4.

Будем обозначать XOR-сложность элемента $\alpha \in Q$ как $\text{XOR}(\alpha)$. Нетрудно проверить, что $\text{XOR}(0) = \text{XOR}(1) = 0$. XOR-сложность строки с номером i матрицы $M = (m_{i,j})_{k \times k}$ можно найти по формуле [3]

$$\sum_{j=1}^k \text{XOR}(m_{i,j}) + (l_i - 1)n,$$

где l_i — количество ненулевых элементов в i -й строке. Тогда можно определить XOR-сложность матрицы $M = (m_{i,j}) \in Q_{k,k}$ по формуле

$$\text{XOR}(M) = \sum_{i=1}^k \sum_{j=1}^k \text{XOR}(m_{i,j}) + n \sum_{i=1}^k (l_i - 1).$$

Пусть $f(x) = a_0 + a_1x + a_2x^2 + \dots + a_{k-1}x^{k-1} + x^k$ и $\{c_1, \dots, c_s\}$ — множество всех различных ненулевых коэффициентов многочлена $f(x)$. В [4] показано, что

$$\text{XOR}(S_f) = \sum_{j=1}^s \text{XOR}(c_j) + (l_f - 1)n; \quad (1)$$

$$\text{XOR}(S_f^r) = r \cdot \text{XOR}(S_f) \quad (2)$$

для любого $r \in \mathbb{N}$, где l_f — количество ненулевых элементов в последней строке матрицы S_f .

1. Построение MDS-отображений

Определение 5. Будем говорить, что линейное отображение $L : Q^k \rightarrow Q^k$, заданное по правилу

$$L(\mathbf{a}) = \mathbf{a} \cdot A_\gamma(L),$$

является MDS-отображением, если $\rho(A_\gamma(L)) = k + 1$, где $A_\gamma(L)$ — матрица линейного отображения L в фиксированном базисе γ пространства Q^k .

В шифрсистемах, ориентированных на низкоресурсную реализацию, существенное значение имеет XOR-сложность используемых криптографических примитивов. Нахождение MDS-отображений с небольшим значением данного параметра является актуальной проблемой.

Предложим способ построения MDS-отображений над полем $\text{GF}(2^8)$ вида

$$\mathcal{L}_{f,P}^k : \mathbf{a} \mapsto \mathbf{a}(S_f^{3k/2} \oplus P)^T, \quad (3)$$

где S_f — сопровождающая матрица многочлена $f(x) \in \text{GF}(2^8)[x]$ степени k ; P — подстановочная матрица порядка k . С целью эффективной реализации коэффициенты многочлена $f(x)$ выберем из множества $\{0, 1, \alpha, \alpha^{-1}, \alpha^2, \alpha^3\}$, где α — произвольный примитивный элемент поля $\text{GF}(2^8)$.

Пусть $k = 4$, $\lambda_1(x) = x^4 + \alpha x^3 + \alpha$, $\lambda_2 = x^4 + \alpha^2 x^3 + \alpha^2$, $\lambda_3 = x^4 + \alpha x^3 + \alpha^{-1}$, $\lambda_4 = x^4 + \alpha^3 x^3 + \alpha^3$ и

$$P_1 = \begin{pmatrix} 0 & 0 & 1 & 0 \\ 1 & 0 & 0 & 0 \\ 0 & 1 & 0 & 0 \\ 0 & 0 & 0 & 1 \end{pmatrix}.$$

Тогда $\mathcal{L}_{\lambda_i, P_1}^4(\mathbf{a}) = \mathbf{a}(S_{\lambda_i}^6 \oplus P_1)^T$, $i = 1, \dots, 4$.

Пусть Λ_i — линейное преобразование, осуществляемое регистром сдвига с характеристическим многочленом $\lambda_i(x)$, $i = 1, \dots, 4$. Тогда действие отображения $\mathcal{L}_{\lambda_i, P_1}^4$ на вектор $\mathbf{a} = (a_0, a_1, a_2, a_3) \in \text{GF}(2^8)^4$ можно схематично представить в виде рис. 1.

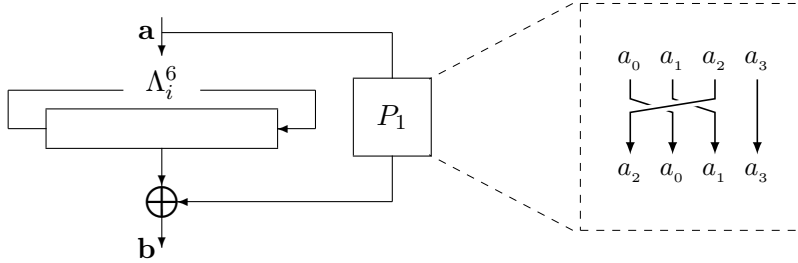


Рис. 1. Действие отображения $\mathcal{L}_{\lambda_i, P_1}^4$ при $i = 1, 2, 3, 4$

Теорема 1. Для любого $i = 1, \dots, 4$ отображение $\mathcal{L}_{\lambda_i, P_1}^4$ является MDS-отображением.

Рассмотрим теперь отображения вида (3) в случае $k = 6$. Пусть $\alpha \in \text{GF}(2^8)$ — корень многочлена $x^8 + x^7 + x^6 + x + 1$, $\tau_1(x) = x^6 + \alpha^{-1}x^5 + \alpha x^4 + \alpha$, $\tau_2(x) = x^6 + \alpha x^5 + \alpha^{-1}x^4 + \alpha$, $\tau_3(x) = x^6 + \alpha^3 x^5 + x^4 + \alpha$, $\tau_4(x) = x^6 + \alpha^3 x^5 + x^4 + \alpha^{-1}$ и

$$P_2 = \begin{pmatrix} 1 & 0 & 0 & 0 & 0 & 0 \\ 0 & 1 & 0 & 0 & 0 & 0 \\ 0 & 0 & 1 & 0 & 0 & 0 \\ 0 & 0 & 0 & 1 & 0 & 0 \\ 0 & 0 & 0 & 0 & 1 & 0 \\ 0 & 0 & 0 & 0 & 0 & 1 \end{pmatrix}.$$

Тогда $\mathcal{L}_{\tau_i, P_2}^6(\mathbf{a}) = \mathbf{a}(S_{\tau_i}^9 \oplus P_2)^T$, $i = 1, \dots, 4$.

Пусть T_i — линейное преобразование, осуществляемое регистром сдвига с характеристическим многочленом $\tau_i(x)$ для любого $i = 1, \dots, 4$. Тогда действие отображения $\mathcal{L}_{\tau_i, P_2}^6$ на вектор $\mathbf{a} = (a_0, a_1, a_2, a_3, a_4, a_5) \in \text{GF}(2^8)^6$ можно схематично представить в виде рис. 2.

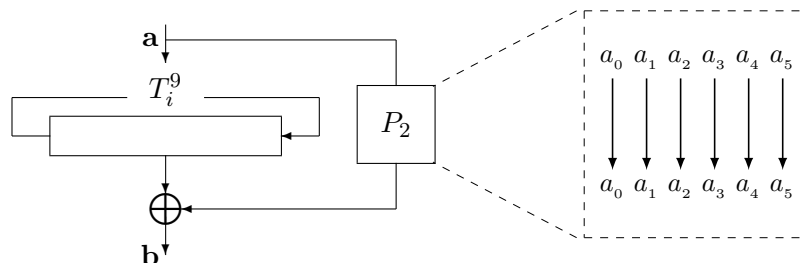


Рис. 2. Действие отображения $\mathcal{L}_{\tau_i, P_2}^6$ при $i = 1, \dots, 4$

Теорема 2. Для любого $i = 1, \dots, 4$ отображение $\mathcal{L}_{\tau_i, P_2}^6$ является MDS-отображением.

2. XOR-сложность некоторых MDS-отображений

Пусть $Q = \text{GF}(2^8) = \text{GF}(2)[x]/x^8 + x^7 + x^6 + x + 1$, θ — корень многочлена $x^8 + x^7 + x^6 + x + 1$. Записи табл. 1 соответствуют XOR-сложности элементов поля Q , заданных в шестнадцатеричном виде. Например, для элемента $\beta = \theta^5 + \theta^2 + \theta + 1 \in \text{GF}(2^8)$ используется запись 0x27. Тогда $\text{XOR}(\beta) = \text{XOR}(0x27) = 28$.

Т а б л и ц а 1

XOR-сложность элементов поля Q

XOR	.0	.1	.2	.3	.4	.5	.6	.7	.8	.9	.a	.b	.c	.d	.e	.f
0.	0	0	3	9	5	11	10	14	7	11	12	18	14	20	13	21
1.	12	18	11	19	13	17	18	24	17	23	22	26	12	20	23	29
2.	16	22	21	25	11	19	22	28	17	23	16	24	18	22	23	29
3.	20	24	25	31	27	33	26	34	11	19	22	28	24	30	29	33
4.	20	24	23	29	25	31	26	34	11	19	20	26	22	28	29	33
5.	18	24	25	29	15	23	24	30	19	25	20	28	22	26	25	31
6.	24	30	25	33	27	31	30	36	29	35	36	40	26	34	35	41
7.	10	18	19	25	21	27	28	32	25	29	28	34	30	36	31	39
8.	25	21	26	20	24	22	31	27	30	26	33	31	27	21	36	32
9.	11	5	20	16	22	18	25	23	22	20	29	25	31	27	32	26
a.	19	17	26	22	28	24	29	23	14	8	23	19	25	21	28	26
b.	21	17	24	22	18	12	27	23	22	18	23	17	21	19	28	24
c.	27	23	32	30	26	20	33	29	28	24	31	25	29	27	34	30
d.	31	29	36	32	38	34	41	35	26	20	33	29	35	31	40	38
e.	9	3	16	12	18	14	23	21	20	18	25	21	27	23	30	24
f.	25	21	28	22	26	24	31	27	30	26	35	33	29	23	36	32

Используя результаты из табл. 1, рассмотрим отображения из теорем 1 и 2. Для вычисления $\mathbf{a}(S_{\lambda_i}^6)^T \oplus \mathbf{a}(P_1)^T = \mathbf{b}$ необходимо $4 \cdot 8 = 32$ операции XOR. Аналогично, для вычисления $\mathbf{a}(S_{\tau_i}^9)^T \oplus \mathbf{a}(P_2)^T = \mathbf{b}$ необходимо $6 \cdot 8 = 48$ операций XOR. Тогда с помощью равенств (2) получим, что для пары

$$(f, P) = \begin{cases} (\lambda_i, P_1), & k = 4, \\ (\tau_i, P_2), & k = 6 \end{cases}$$

справедливо равенство $\text{XOR}(\mathcal{L}_{f,P}^k) = \frac{3k}{2}\text{XOR}(S_f) + 8k$.

Пусть $h_1(x) = x^4 + \beta^2 x^3 + x^2 + \beta x + 1$, $h_2(x) = x^4 + (\beta + 1)x^3 + x^2 + \beta x + 1$, $h_3(x) = x^4 + \beta^2 x^3 + x^2 + x + \beta \in \text{GF}(2^n)[x]$. В [5] показано, что при некоторых $\beta \in \text{GF}(2^n)$ матрица $S_{h_i}^4$ является MDS-матрицей для любого $i = 1, 2, 3$.

В работе [2] авторы использовали многочлены $g_1(x) = x^6 + 2x^5 + 8x^4 + 5x^3 + 8x^2 + 2x + 1$ и $g_2(x) = x^6 + 4x^5 + x^4 + 2x^3 + x^2 + 3x + 2$ для построения MDS-матриц размеров 6×6 , используемых в семействе хэш-функции PHOTON, ориентированных на низкоресурсную реализацию. Они получили, что над полем $\text{GF}(2^8) = \text{GF}(2)[x]/x^8 + x^4 + x^3 + x + 1$ матрица $S_{g_i}^6$ является MDS-матрицей, $i = 1, 2$. Заметим, что среди многочленов вида

$$\begin{aligned} g'_1(x) &= x^6 + \beta x^5 + \beta^3 x^4 + (\beta^2 \oplus 1)x^3 + \beta^3 x^2 + \beta x + 1, \\ g'_2(x) &= x^6 + \beta^2 x^5 + x^4 + \beta x^3 + x^2 + (\beta \oplus 1)x + \beta \end{aligned}$$

для некоторого $\beta \in \text{GF}(2^8)$ найдутся многочлены $g_1(x)$ и $g_2(x)$ соответственно.

С помощью значений из табл. 1 и равенств (1) и (2) при $\alpha = \beta = 0x02$ получены результаты, приведённые в табл. 2 и 3. Из таблиц следует, что метод построения MDS-отображений на множествах Q^k при $k = 4$ и 6, предложенный в данной работе, позволяет осуществить менее затратную реализацию, чем с использованием отображений из работ [2, 5].

Т а б л и ц а 2

**Сравнение параметра XOR-сложность
для MDS-отображений множества Q^4**

MDS-отображения	$S_{h_1}^4$	$S_{h_2}^4$	$S_{h_3}^4$	$\mathcal{L}_{\lambda_1, P_1}^4$	$\mathcal{L}_{\lambda_2, P_1}^4$	$\mathcal{L}_{\lambda_3, P_1}^4$	$\mathcal{L}_{\lambda_4, P_1}^4$
XOR-сложность	128	144	128	98	110	116	122

Т а б л и ц а 3

**Сравнение параметра XOR-сложность
для MDS-отображений множества Q^6**

MDS-отображения	$S_{g'_1}^6$	$S_{g'_2}^6$	$\mathcal{L}_{\tau_1, P_2}^6$	$\mathcal{L}_{\tau_2, P_2}^6$	$\mathcal{L}_{\tau_3, P_2}^6$	$\mathcal{L}_{\tau_4, P_2}^6$
XOR-сложность	366	342	246	246	282	282

Заключение

В работе предложен новый метод построения MDS-матрицы. Полученные MDS-матрицы обладают хорошими эксплуатационными характеристиками с точки зрения реализации на вычислительных платформах с ограниченными ресурсами.

ЛИТЕРАТУРА

1. Augot D. and Finiasz M. Direct construction of recursive MDS diffusion layers using shortened BCH codes // LNCS. 2014. V. 8540. P. 3–17.
2. Guo J., Peyrin T., and Poschmann A. The PHOTON family of lightweight hash functions // LNCS. 2011. V. 6841. P. 222–239.

3. Sarkar S. and Sim S. M. A deeper understanding of the XOR count distribution in the context of lightweight cryptography // LNCS. 2016. V. 9646. P. 167–182.
4. Toh D., Teo J., Khoo K., and Sim S. M. Lightweight MDS serial-type matrices with minimal fixed XOR count // LNCS. 2018. V. 10831. P. 51–71.
5. Gupta K. C. and Ray I. G. On constructions of MDS matrices from companion matrices for lightweight cryptography // LNCS. 2013. V. 8128. P. 29–43.

УДК 519.688

DOI 10.17223/2226308X/12/60

ВЫЧИСЛИТЕЛЬНЫЕ ЭКСПЕРИМЕНТЫ В КОНЕЧНЫХ ДВУПОРОЖДЁННЫХ БЕРНСАЙДОВЫХ ГРУППАХ ПЕРИОДА 5

А. А. Кузнецов

Пусть $B_0(2, 5) = \langle a_1, a_2 \rangle$ — наибольшая конечная двупорождённая бернсайдова группа периода 5, порядок которой равен 5^{34} . Для каждого элемента данной группы существует единственное представление вида $a_1^{\alpha_1} \cdot a_2^{\alpha_2} \cdot \dots \cdot a_{34}^{\alpha_{34}}$, где $\alpha_i \in \mathbb{Z}_5$, $i = 1, 2, \dots, 34$. Здесь a_1 и a_2 — порождающие элементы $B_0(2, 5)$, a_3, \dots, a_{34} — коммутаторы, которые вычисляются рекурсивно через a_1 и a_2 . Определим факторгруппу группы $B_0(2, 5)$ следующего вида: $B_k = B_0(2, 5) / \langle a_{k+1}, \dots, a_{34} \rangle$. Очевидно, что $|B_k| = 5^k$. На основе проведённых вычислительных экспериментов сформулирована гипотеза о диаметре группы B_k для симметричного порождающего множества $\{a_1, a_1^{-1}, a_2, a_2^{-1}\}$.

Ключевые слова: функция роста группы, группа Бернсайда.

Настоящая работа продолжает исследования, начатые в [1, 2], которые посвящены разработке алгоритмов для исследования роста в конечных двупорождённых группах периода 5. В [1] основной упор сделан на создании алгоритмов минимальной вычислительной сложности, а в [2] разработан ресурсно-эффективный алгоритм, который имеет низкую пространственную сложность и сохраняет вычислительную сложность на приемлемом уровне.

Напомним основные определения [1]. Пусть $G = \langle X \rangle$. Шаром K_s радиуса s группы G будем называть множество всех её элементов, которые могут быть представлены в алфавите X в виде несократимых групповых слов длины не больше s . Все элементы одинаковой длины i образуют сферу P_i радиуса i . Единица группы e является пустым словом, длина которого равна нулю. Согласно данным определениям, $K_s = \bigcup_{i=0}^s P_i$.

Для каждого целого неотрицательного i можно определить (сферическую) функцию роста группы $F(G)$, которую будем записывать в виде вектора $F(G) = (F_0, F_1, \dots, F_i, \dots)$, где $F_i = |P_i|$. Пусть $F_{s_0} > 0$, но $F_{s_0+1} = 0$, тогда s_0 является диаметром графа Кэли группы G в алфавите порождающих X , который будем обозначать $D_X(G)$. Средний диаметр $\bar{D}_X(G)$ равен $\frac{1}{|G|} \sum_{s=0}^{s_0} s F_s$.

Заметим, что решение некоторых задач теории кодирования и криптографии сводится к исследованию соответствующих графов Кэли. Например, открытая проблема эффективного восстановления вершин в графе Хэмминга является одной из таких задач [3].

Кратко опишем алгоритмы из [1, 2].

Алгоритм 1 вычисляет шар K_s фиксированного радиуса s произвольной конечной группы G , заданной порождающим множеством X . Данный алгоритм имеет низкую